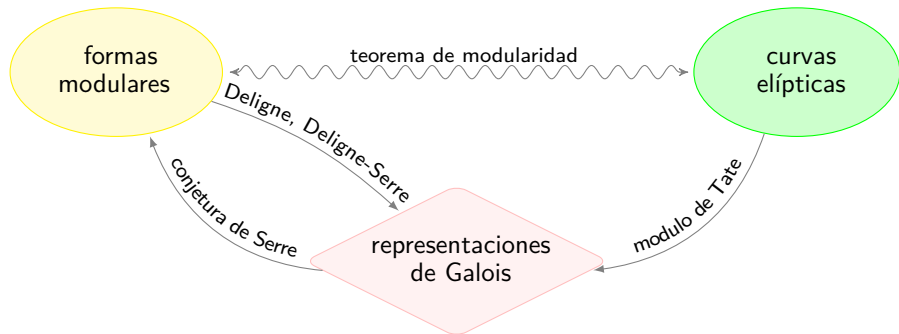


La conjetura de modularidad de Serre

Marta Sánchez Pavón

Facultad de Matemáticas US

Octubre 2024



- Serre, 1975: *Valeurs propres des opérateurs de Hecke modulo ℓ* .
- Serre, 1987: *Sur les représentations modulaires de degré 2 de $\text{Gal}(\overline{\mathbb{Q}}/\mathbb{Q})$* .

Representaciones de Galois módulo p

Fijamos clausuras algebraicas $\overline{\mathbb{Q}}$ y $\overline{\mathbb{F}}_p$, y denotamos $G_{\mathbb{Q}} = \text{Gal}(\overline{\mathbb{Q}}/\mathbb{Q})$.

Definición

Sea V un $\overline{\mathbb{F}}_p$ -espacio vectorial. Una *representación de Galois módulo p* es un homomorfismo continuo

$$\rho: G_{\mathbb{Q}} \rightarrow \text{Aut}(V).$$

- La imagen $\rho(G_{\mathbb{Q}})$ es finita.
- $\text{Aut}(V) \cong \begin{cases} \text{GL}_2(\overline{\mathbb{F}}_p) & \text{si } \dim(V) = 2 \\ \text{GL}_1(\overline{\mathbb{F}}_p) \cong \overline{\mathbb{F}}_p^{\times} & \text{si } \dim(V) = 1. \end{cases}$
- ρ está determinada (salvo conjugación) por

$$\text{tr } \rho(\text{Frob}_{\ell}) \text{ y } \det \rho(\text{Frob}_{\ell}),$$

para todo primo ℓ salvo un número finito de ellos.

Definiciones

Sea $\rho: G_{\mathbb{Q}} \rightarrow \text{Aut}(V)$ una representación de Galois módulo ρ .

- Si existe un subespacio $W \subset V$ invariante por la acción de ρ , se dice que ρ admite una subrepresentación $\rho^W: G_{\mathbb{Q}} \rightarrow \text{Aut}(W)$.
- ρ se dice *irreducible* si no admite subrepresentaciones propias no triviales.
- ρ se dice *semisimple* si se descompone en suma directa de subrepresentaciones irreducibles.
- Después de fijar una inclusión $\overline{\mathbb{Q}} \hookrightarrow \mathbb{C}$, se dice que ρ es *impar* si

$$\det \rho(c) = -1,$$

donde c es la conjugación compleja.

Ramificación

Sea $\rho: G_{\mathbb{Q}} \rightarrow \text{Aut}(V)$ una representación de Galois módulo p . Como $\rho(G_{\mathbb{Q}})$ es finita, existe una extensión finita de Galois K/\mathbb{Q} tal que

$$\begin{array}{ccc} G_{\mathbb{Q}} & \longrightarrow & \text{Aut}(V) \\ \downarrow & \nearrow & \\ \text{Gal}(K/\mathbb{Q}) & & \end{array}$$

Dado un primo ℓ , existen ideales primos $\mathfrak{l}_1, \dots, \mathfrak{l}_r \subset \mathcal{O}_K$ tales que $(\ell)\mathcal{O}_K = \mathfrak{l}_1^{e_1} \cdots \mathfrak{l}_r^{e_r} = (\mathfrak{l}_1 \cdots \mathfrak{l}_r)^e$ de manera única.

Definición

Se dice que ρ es *no ramificada en ℓ* si $e = 1$.

Además, ρ es no ramificada fuera de un conjunto finito de primos.

Sea $\mathcal{H} = \{z \in \mathbb{C} : \Im(z) > 0\}$. El grupo modular $SL_2(\mathbb{Z})$ actúa en \mathcal{H} mediante *transformaciones de Möbius*:

$$SL_2(\mathbb{Z}) \curvearrowright \mathcal{H}$$

$$M(z) = \frac{az + b}{cz + d} \text{ para toda } M = \begin{pmatrix} a & b \\ c & d \end{pmatrix} \in SL_2(\mathbb{Z}).$$

Para todo entero positivo N , consideramos el subgrupo normal

$$\Gamma_0(N) = \left\{ \begin{pmatrix} a & b \\ c & d \end{pmatrix} \in SL_2(\mathbb{Z}) : c \equiv 0 \pmod{N} \right\} \triangleleft SL_2(\mathbb{Z}).$$

Formas cuspidales

Fijamos enteros positivos N y k , y un carácter de Dirichlet

$$\varepsilon: (\mathbb{Z}/N\mathbb{Z})^\times \rightarrow \mathbb{C}^\times.$$

Definición

Una *forma cuspidal de peso k , nivel N y carácter ε* es una función holomorfa $f: \mathcal{H} \rightarrow \mathbb{C}$ tal que:

- $f(M(z)) = \varepsilon(d)(cz + d)^k f(z)$ para todo $M \in \Gamma_0(N)$ y todo $z \in \mathcal{H}$.
- f se anula en las cúspides.

$\begin{pmatrix} 1 & 1 \\ 0 & 1 \end{pmatrix} \in \Gamma_0(N)$, luego $f(z + 1) = f(z)$ para todo $z \in \mathcal{H}$. Por tanto,

$$f(z) = \sum_{n \in \mathbb{Z}} \sum_{n=1}^{\infty} a_n(f) q^n, \text{ con } q = e^{2\pi iz}.$$

Si $a_1(f) = 1$, se dice que f está *normalizada*.

Autoformas cuspidales

- El conjunto $\mathcal{S}_k(N, \varepsilon)$ de formas cuspidales de peso k , nivel N y carácter ε es un \mathbb{C} -espacio vectorial de dimensión finita.
- Para cada primo ℓ , se define el ℓ -ésimo *operador de Hecke*

$$T_\ell: \mathcal{S}_k(N, \varepsilon) \rightarrow \mathcal{S}_k(N, \varepsilon).$$

Definición

Una forma cuspidal $f \in \mathcal{S}_k(N, \varepsilon)$ es una *autoforma* si es un autovector para todos los operadores de Hecke T_ℓ , simultáneamente.

Propiedad

Si $f \in \mathcal{S}_k(N, \varepsilon)$ es una autoforma normalizada, entonces

$$a_n(f) \in \overline{\mathbb{Z}} \text{ para todo } n \geq 1.$$

Reducción de formas cuspidales

- Fijamos un entero positivo N coprimo con p , un entero $k \geq 2$, y un carácter de Dirichlet $\varepsilon: (\mathbb{Z}/N\mathbb{Z})^\times \rightarrow \overline{\mathbb{F}}_p^\times$.
- Fijamos inclusiones $\overline{\mathbb{Q}} \hookrightarrow \mathbb{C}$ y $\overline{\mathbb{Q}} \hookrightarrow \overline{\mathbb{Q}}_p$. La segunda induce un homomorfismo reducción $\tilde{\cdot}: \overline{\mathbb{Z}} \rightarrow \overline{\mathbb{F}}_p$.
- $\varepsilon_0: (\mathbb{Z}/N\mathbb{Z})^\times \rightarrow \overline{\mathbb{Z}}^\times$ es el único carácter tal que $\tilde{\varepsilon}_0 = \varepsilon$.

Definición

Una *forma cuspidal con coeficientes en $\overline{\mathbb{F}}_p$* de peso k , nivel N y carácter ε es una serie formal

$$f = \sum_{n=1}^{\infty} a_n(f) q^n, \text{ con } a_n(f) \in \overline{\mathbb{F}}_p,$$

tal que existe una forma cuspidal $F \in \mathcal{S}_k(N, \varepsilon_0)$ con coeficientes de Fourier en $\overline{\mathbb{Z}}$ verificando $\widetilde{a_n(F)} = a_n(f)$ para todo $n \geq 1$.

Reducción de autoformas cuspidales

El conjunto $\tilde{\mathcal{S}}_k(N, \varepsilon)$ de formas cuspidales de peso k , nivel N y carácter ε es un $\overline{\mathbb{F}}_p$ -espacio vectorial de dimensión finita tal que

$$\dim_{\overline{\mathbb{F}}_p}(\tilde{\mathcal{S}}_k(N, \varepsilon)) = \dim_{\mathbb{C}}(\mathcal{S}_k(N, \varepsilon_0)).$$

Definición

Se dice que $f \in \tilde{\mathcal{S}}_k(N, \varepsilon)$ es una *autoforma normalizada* si existe una autoforma normalizada $F \in \mathcal{S}_k(N, \varepsilon_0)$ tal que $\widetilde{a_n(F)} = a_n(f)$ para todo $n \geq 1$.

Teorema de Deligne, 1971

Sea $f \in \tilde{\mathcal{S}}_k(N, \varepsilon)$ autoforma normalizada. Existe una única representación de Galois $\rho_f: G_{\mathbb{Q}} \rightarrow \mathrm{GL}_2(\overline{\mathbb{F}}_p)$ tal que:

- ρ_f es semisimple e impar.
- ρ_f es no ramificada fuera de Np .
- Para todo primo ℓ tal que $\ell \nmid Np$, se verifica

$$\mathrm{tr} \rho_f(\mathrm{Frob}_{\ell}) = a_{\ell}(f) \quad \text{y} \quad \det \rho_f(\mathrm{Frob}_{\ell}) = \varepsilon(\ell)\ell^{k-1}.$$

Se tiene un resultado similar para $k = 1$ (Deligne-Serre, 1974).

Conjetura de modularidad de Serre

Conjetura de modularidad de Serre (Khare-Wintenberger, 2008)

Dada una representación de Galois $\rho: G_{\mathbb{Q}} \rightarrow \mathrm{GL}_2(\overline{\mathbb{F}}_p)$ impar e irreducible, existe una autoforma cuspidal f normalizada con coeficientes en $\overline{\mathbb{F}}_p$ tal que $\rho \cong \rho_f$.

- Existen $N(\rho)$, $k(\rho)$ y $\varepsilon(\rho)$ tales que $f \in \tilde{\mathcal{S}}_{k(\rho)}(N(\rho), \varepsilon(\rho))$.
- Si $g \in \tilde{\mathcal{S}}_k(N, \varepsilon)$ es otra autoforma normalizada tal que $\rho \cong \rho_g$,
$$N(\rho) \mid N \text{ y } k \geq k(\rho).$$
- $N(\rho) \geq 1$ es coprimo con p y depende de la ramificación de ρ fuera de p .
- $k(\rho) \geq 2$ depende de la ramificación de ρ en p .
- $\varepsilon(\rho): (\mathbb{Z}/N(\rho)\mathbb{Z})^{\times} \rightarrow \overline{\mathbb{F}}_p^{\times}$ es tal que $\det \rho = \varepsilon(\rho)\chi_p^{k(\rho)-1}$.

Ejemplo con SageMath y LMFDB

Sean:

- $g(x) = x^4 - 4x^2 + 5$, con raíces

$$\alpha_1 = \sqrt{2+i}, \quad \alpha_2 = \sqrt{2-i}, \quad \alpha_3 = -\alpha_1, \quad \alpha_4 = -\alpha_2.$$

- $K = \mathbb{Q}(\alpha_1, \alpha_2)$ cuerpo de descomposición de g sobre \mathbb{Q} .
- $G = \text{Gal}(K/\mathbb{Q})$.

Calculamos:

- $G = D_8 = \langle \sigma, \tau \rangle$, donde

$$(\alpha_1, \alpha_2) \xrightarrow{\sigma} (\alpha_2, -\alpha_1) \quad \text{y} \quad (\alpha_1, \alpha_2) \xrightarrow{\tau} (\alpha_1, -\alpha_2).$$

- Los primos que dividen al discriminante Δ_K : 2 y 5.
- Elegimos un primo p distinto de 2 y 5. Por ejemplo, $p = 3$.

- Definimos el homomorfismo

$$\begin{aligned} \bar{\rho}: G &\rightarrow \mathrm{GL}_2(\mathbb{F}_3) \\ (\sigma, \tau) &\mapsto \left(\left(\begin{pmatrix} 0 & 1 \\ -1 & 0 \end{pmatrix}, \begin{pmatrix} 0 & 1 \\ 1 & 0 \end{pmatrix} \right) \right). \end{aligned}$$

- El homomorfismo $\bar{\rho}$ induce una representación de Galois **impar e irreducible**

$$\rho: G_{\mathbb{Q}} \rightarrow G \xrightarrow{\bar{\rho}} \mathrm{GL}_2(\mathbb{F}_3),$$

luego podemos aplicar la conjetura de modularidad de Serre: ρ proviene de una autoforma cuspidal normalizada con coeficientes en $\overline{\mathbb{F}_3}$.

- Calculamos con SageMath los grupos de ramificación alta de G en $\ell = 2, 5$, y la dimensión de los subespacios de \mathbb{F}_3^2 fijos por dichos grupos. Obtenemos $N(\rho) = 2^6 \cdot 5^1 = 320$.
- Como ρ es no ramificada en $p = 3$, entonces $k(\rho) = 3$.
- Como $\det \rho(G_{\mathbb{Q}}) \cong \mathbb{F}_3^{\times} \cong (\mathbb{Z}/2\mathbb{Z})$, entonces $\varepsilon(\rho): (\mathbb{Z}/320\mathbb{Z})^{\times} \rightarrow \overline{\mathbb{F}}_3^{\times}$ es un carácter de **orden 2**.



The L-functions and modular forms database (LMFDB)

[Citation](#) · [Feedback](#) · [Hide Menu](#)

Introduction

[Overview](#) [Random Universe](#)
[Knowledge](#)

L-functions

[Rational](#) [All](#)

Modular forms

[Classical](#) [Maass](#)
[Hilbert](#) [Bianchi](#)

Varieties

[Elliptic curves over \$\mathbb{Q}\$](#)
[Elliptic curves over \$\mathbb{Q}\(\alpha\)\$](#)
[Genus 2 curves over \$\mathbb{Q}\$](#)
[Higher genus families](#)
[Abelian varieties over \$\mathbb{F}_q\$](#)

Fields

[Number fields](#)
[p-adic fields](#)

Representations

[Dirichlet characters](#)
[Artin representations](#)

Name	Rank	Weight	Level	Other
L(1, \chi)	1	1	1	
L(1, \chi)	1	1	1	
L(1, \chi)	1	1	1	
L(1, \chi)	1	1	1	
L(1, \chi)	1	1	1	
L(1, \chi)	1	1	1	
L(1, \chi)	1	1	1	
L(1, \chi)	1	1	1	
L(1, \chi)	1	1	1	
L(1, \chi)	1	1	1	

A database

The LMFDB is a database of mathematical objects arising in number theory and arithmetic geometry that illustrates some of the mathematical connections predicted by the Langlands program.

Click a heading on the left to browse, or go to a random page.



Learn more

Information is available regarding the source, reliability, and completeness of the database.

Knowles provide explanations when you need them.

[Overview](#) [LMFDB universe](#) [Knowledge](#) [Data](#)



Announcements

The first LuCaNT conference took place July 10-14, 2023 at ICERM. Thanks to everyone who attended! Conference proceedings will be published soon.

Check out the recently updated [abstract groups database \[beta\]](#).

Check out the new [modular curves database \[beta\]](#).



Citations and acknowledgments

- [How to cite the LMFDB](#)
- [Source code repository](#)
- [Editorial board](#)
- [Acknowledgments](#)

Search

Level	<input type="text" value="320"/>	<small>e.g. 4, 1-20</small>	Weight	<input type="text" value="any parity"/>	<input type="text" value="3"/>	<small>e.g. 2, 4-8</small>
Bad p	<input type="text" value="include"/>	<small>e.g. 2,3</small>	Character	<input type="text" value="any parity"/>	<input type="text" value="20.d"/>	<small>e.g. 20.d</small>
Character order	<input type="text" value="2"/>	<small>e.g. 1, 2-4</small>	Primitive character	<input type="text" value="1.a"/>	<input type="text" value="1.a"/>	<small>e.g. 1.a</small>
Dimension	<input type="text" value="absolute"/>	<small>e.g. 2, 1-6</small>	Is maximal/largest	<input type="text" value=""/>	<input type="text" value=""/>	
Analytic conductor	<input type="text" value="1-10"/>	<small>e.g. 1-10</small>	Analytic rank	<input type="text" value="1"/>	<input type="text" value="1"/>	<small>e.g. 1, 2-4</small>
Coefficient field	<input type="text" value="1.1.1.1"/>	<small>e.g. 2.0.5.1, Qsqrt5</small>	Is self-dual	<input type="text" value=""/>	<input type="text" value=""/>	
Coefficient ring index	<input type="text" value="1"/>	<small>e.g. 1, 2-4</small>	Coefficient ring gens.	<input type="text" value="20"/>	<input type="text" value="20"/>	<small>e.g. 7, 1-10</small>
CM/RM discriminant	<input type="text" value="-3"/>	<small>e.g. -3</small>	Self-twists	<input type="text" value="any CM"/>	<input type="text" value="any RM"/>	
Inner twist count	<input type="text" value="1-"/>	<small>e.g. 0, 1-, 2-3</small>	Is twist minimal	<input type="text" value=""/>	<input type="text" value=""/>	
Results to display	<input type="text" value="50"/>		Projective image	<input type="text" value="Dn"/>	<input type="text" value="Dn"/>	<small>A5, D7, or Dn; weight 1 only</small>

Display:

Sort order

Results (15 matches)

[displayed columns for](#)

[results to](#)

Label	Dim	A	Field	CM	Traces				q-expansion
					a_2	a_3	a_5	a_7	
320.3.b.a	4	8.719	$\mathbb{Q}(\sqrt{-3}, \sqrt{5})$	None	0	0	0	0	$q + \beta_2 q^3 - \beta_1 q^5 + \beta_3 q^7 + (-9 + 6\beta_1 + \dots) q^9 + \dots$
320.3.b.b	4	8.719	$\mathbb{Q}(i, \sqrt{5})$	None	0	0	0	0	$q - \beta_1 q^3 + \beta_3 q^5 + (\beta_1 - 4\beta_2) q^7 + (-5 + \dots) q^9 + \dots$
320.3.b.c	4	8.719	$\mathbb{Q}(\zeta_{10})$	None	0	0	0	0	$q + \zeta_{10}^3 q^3 + \zeta_{10}^2 q^5 + (-\zeta_{10} + \zeta_{10}^3) q^7 + \dots$
320.3.b.d	4	8.719	$\mathbb{Q}(i, \sqrt{5})$	None	0	0	0	0	$q + \beta_1 q^3 - \beta_2 q^5 - \beta_1 q^7 + (3 + 2\beta_2 + \dots) q^9 + \dots$
320.3.e.a	8	8.719	8.0...3	None	0	0	0	0	$q - \beta_5 q^3 + (-\beta_4 - \beta_6) q^5 + \beta_2 q^7 + \dots$
320.3.e.b	16	8.719	$\mathbb{Q}[x]/(x^{16} + \dots)$	None	0	0	0	0	$q + \beta_1 q^3 + \beta_4 q^5 - \beta_{11} q^7 + (-6 - \beta_5 + \dots) q^9 + \dots$
320.3.g.a	8	8.719	8.0.12960000.1	None	0	0	0	0	$q - \beta_5 q^3 - \beta_6 q^5 + (-3\beta_4 - \beta_5) q^7 + \dots$
320.3.g.b	8	8.719	8.0.2342560000.1	None	0	0	0	0	$q + \beta_3 q^3 - \beta_4 q^5 + (-2\beta_5 - \beta_7) q^7 + \dots$
320.3.h.a	1	8.719	\mathbb{Q}	$\mathbb{Q}(\sqrt{-5})$	0	-4	5	-4	$q - 4q^3 + 5q^5 - 4q^7 + 7q^9 - 20q^{15} + \dots$
320.3.h.b	1	8.719	\mathbb{Q}	$\mathbb{Q}(\sqrt{-5})$	0	4	5	4	$q + 4q^3 + 5q^5 + 4q^7 + 7q^9 + 20q^{15} + \dots$
320.3.h.c	2	8.719	$\mathbb{Q}(\sqrt{5})$	$\mathbb{Q}(\sqrt{-5})$	0	0	-10	0	$q - \beta q^3 - 5q^5 - 3\beta q^7 + 11q^9 + 5\beta q^{15} + \dots$
320.3.h.d	2	8.719	$\mathbb{Q}(\sqrt{-1})$	$\mathbb{Q}(\sqrt{-1})$	0	0	-6	0	$q + (-3 + i) q^3 - 9q^5 - 6iq^{13} - 4iq^{17} + \dots$
320.3.h.e	4	8.719	$\mathbb{Q}(\sqrt{2}, \sqrt{-3})$	None	0	0	4	0	$q + \beta_1 q^3 + (1 + \beta_2) q^5 - 3\beta_1 q^7 - q^9 + \dots$
320.3.h.f	6	8.719	6.0.1827904.1	None	0	-4	2	12	$q + (-1 - \beta_1) q^3 + \beta_3 q^5 + (2 + \beta_3 - \beta_4 + \dots) q^7 + \dots$
320.3.h.g	6	8.719	6.0.1827904.1	None	0	4	2	-12	$q + (1 + \beta_1) q^3 + (1 + \beta_1 + \beta_3) q^5 + (-2 + \dots) q^7 + \dots$

Ahora bien, ρ no proviene de la reducción en $\overline{\mathbb{F}}_3$ de todas estas.

- Por el teorema de Deligne, si ρ proviene de $f \in \tilde{\mathcal{S}}_3(320, \varepsilon(\rho))$, entonces

$$\mathrm{tr} \rho(\mathrm{Frob}_\ell) = a_\ell(f) \text{ para todo } \ell \notin \{2, 3, 5\}$$

- Calculamos con SageMath el conjunto de los primeros primos que son totalmente descompuestos en K/\mathbb{Q} ,

$$D = \{61, 89, 109, 149, 269, 389, 401\}.$$

- Para todo $\ell \in D$, se verifica que

$$\mathrm{tr} \rho(\mathrm{Frob}_\ell) = 2 \text{ en } \overline{\mathbb{F}}_3.$$

- Por tanto, si f es la reducción en $\overline{\mathbb{F}}_3$ de F , se debe verificar

$$a_\ell(F) \equiv 2 \pmod{3} \text{ para todo } \ell \in D.$$

Columns to display

61,89,109,149,269,389

e.g. 3,7,19, 40-90

Show

primes only

Trace constraints

a3=2,a5=0

e.g. a17=1, a8=0

Modulo

3

e.g. 5, 16

View

reductions

Results (15 matches)

Download

displayed columns for

all

results to

Text

The following table gives [traces](#) of a_n for the search results.

Label	Dim	a_{61}	a_{89}	a_{109}	a_{149}	a_{269}	a_{389}	a_{401}
320.3.b.a	4	1	0	2	0	0	0	0
320.3.b.b	4	2	0	1	1	2	1	0
320.3.b.c	4	1	2	2	0	0	0	0
320.3.b.d	4	0	1	0	1	0	1	0
320.3.e.a	8	0	0	0	0	0	0	0
320.3.e.b	16	0	0	0	0	0	0	0
320.3.g.a	8	0	1	0	0	0	0	2
320.3.g.b	8	0	2	0	0	0	0	1
320.3.h.a	1	1	2	1	1	1	1	2
320.3.h.b	1	1	2	1	1	1	1	2
320.3.h.c	2	1	1	1	1	1	1	1
320.3.h.d	2	1	0	2	0	0	0	0
320.3.h.e	4	2	2	2	2	2	2	2
320.3.h.f	6	1	1	2	1	2	0	0
320.3.h.g	6	1	1	2	1	2	0	0

Newform orbit 320.3.h.e

Newspace parameters

Show commands: [Magma](#) / [PariGP](#) / [SageMath](#) 

Level:	N	=	$320 = 2^6 \cdot 5$
Weight:	k	=	3
Character orbit:	$[\chi]$	=	320.h (of order 2, degree 1, not minimal)

Newform invariants

Self dual:	no
Analytic conductor:	8.71936845953
Analytic rank:	0
Dimension:	4
Coefficient field:	$\mathbb{Q}(\sqrt{2}, \sqrt{-3})$
Defining polynomial:	$x^4 + 2x^2 + 4$
Coefficient ring:	$\mathbb{Z}[a_1, \dots, a_5]$
Coefficient ring index:	2^7
Twist minimal:	no (minimal twist has level 80)
Sato-Tate group:	$SU(2) C_2$

q-expansion

Coefficients of the q -expansion are expressed in terms of a basis $1, \beta_1, \beta_2, \beta_3$ for the coefficient ring described below. We also show the integral q -expansion of the [trace form](#).

$$f(q) = q + \beta_1 q^3 + (\beta_2 + 1)q^5 - 3\beta_1 q^7 - q^9 - \beta_3 q^{11} + 2\beta_2 q^{13} + (-\beta_3 + \beta_1)q^{15} + 4\beta_2 q^{17} + \beta_3 q^{19} - 24q^{21} + 9\beta_1 q^{23} + (2\beta_2 - 23)q^{25} - 10\beta_1 q^{27} + 22q^{29} + 4\beta_3 q^{31} + 8\beta_2 q^{33} + (3\beta_3 - 3\beta_1)q^{35} + 10\beta_2 q^{37} - 2\beta_3 q^{39} + 22q^{41} + 21\beta_1 q^{43} + (-\beta_2 - 1)q^{45} - 3\beta_1 q^{47} + 23q^{49} - 4\beta_3 q^{51} + 6\beta_2 q^{53} + (-\beta_3 - 24\beta_1)q^{55} - 8\beta_2 q^{57} - \beta_3 q^{59} - 46q^{61} + 3\beta_1 q^{63} + (2\beta_2 - 48)q^{65} + 21\beta_1 q^{67} + 72q^{69} - 2\beta_3 q^{71} - 16\beta_2 q^{73} + (-2\beta_3 - 23\beta_1)q^{75} - 24\beta_2 q^{77} - 71q^{81} - 27\beta_1 q^{83} + (4\beta_2 - 96)q^{85} + 22\beta_1 q^{87} + 146q^{89} + 6\beta_3 q^{91} - 32\beta_2 q^{93} + (\beta_3 + 24\beta_1)q^{95} + 12\beta_2 q^{97} + \beta_3 q^{99} + O(q^{100})$$

$$\text{Tr}(f)(q) = 4q + 4q^5 - 4q^9 - 96q^{21} - 92q^{25} + 88q^{29} + 88q^{41} - 4q^{45} + 92q^{49} - 184q^{61} - 192q^{65} + 288q^{69} - 284q^{81} - 384q^{85} + 584q^{89} + O(q^{100})$$

Hoy en día, se utiliza otra definición de autoformas cuspidales con coeficientes en $\overline{\mathbb{F}}_p$ (definición de Katz), lo que nos permite considerar autoformas con peso 1.

Level <input type="text" value="320"/>	Weight <input type="text" value="1"/>	Analytic conductor <input type="text" value="1-10"/>	Analytic rank <input type="text" value="1"/>	Dim. <input type="text" value="absolute"/>
Bad p <input type="text" value="include"/>	Char. <input type="text" value="any parity"/>	Primitive character <input type="text" value="1.a"/>	Character order <input type="text" value="2"/>	Is maximal/largest <input type="text"/>
<input type="text" value="2,3"/>	Self-twists <input type="text" value="20.d"/>	CM/RM discriminant <input type="text" value="1.a"/>	Inner twist count <input type="text" value="1-"/>	Is self-dual <input type="text"/>
Coefficient field <input type="text" value="1.1.1.1"/>	<input type="text" value="any CM"/> <input type="text" value="any RM"/>	Is twist minimal <input type="text"/>	Projective image <input type="text" value="Dn"/>	
Coefficient ring index <input type="text" value="1"/>	Coefficient ring gens. <input type="text" value="20"/>			Sort order <input type="text" value="analytic conductor"/>
<input type="button" value="Search again"/>	<input type="button" value="List of forms"/>	<input type="button" value="Dimension table"/>	<input type="button" value="Random form"/>	
Columns to display <input type="text" value="61,89,109,149,269,38"/>	<i>e.g. 3,7,19, 40-90</i>	Show <input type="text" value="primes only"/>		View <input type="text" value="reductions"/>
Trace constraints <input type="text" value="a3=2,a5=0"/>	<i>e.g. a17=1, a8=0</i>	Modulo <input type="text" value="3"/>	<i>e.g. 5, 16</i>	
Results (unique match) <input type="button" value="Download"/> displayed columns for <input type="text" value="all"/> results to <input type="text" value="Text"/>				

The following table gives [traces](#) of a_n for the search results.

Label	Dim	a_{61}	a_{89}	a_{109}	a_{149}	a_{269}	a_{389}	a_{401}
320.1.h.a	1	2	2	2	2	2	2	2

Newform orbit 320.1.h.a

Newspace parameters

Show commands: [Magma](#) / [PariGP](#) / [SageMath](#) 

Level:	N	=	$320 = 2^6 \cdot 5$
Weight:	k	=	1
Character orbit:	$[\chi]$	=	320.h (of order 2 , degree 1 , not minimal)

Newform invariants

Self dual:	yes
Analytic conductor :	0.159700804043
Analytic rank :	0
Dimension :	1
Coefficient field :	\mathbb{Q}
Coefficient ring :	\mathbb{Z}
Coefficient ring index :	1
Twist minimal :	no (minimal twist has level 80)
Projective image :	D_2
Projective field :	Galois closure of $\mathbb{Q}(i, \sqrt{5})$
Artin image :	D_4
Artin field :	Galois closure of 4.0.1280.1

q -expansion

$$f(q) = q + q^5 - q^9 + q^{25} - 2q^{29} - 2q^{41} - q^{45} - q^{49} + 2q^{61} + q^{81} + 2q^{89} + O(q^{100})$$

Display 10 coefficients

Último teorema de Fermat

Último teorema de Fermat (Wiles, 1995)

La ecuación

$$x^n + y^n = z^n$$

no tiene soluciones enteras no triviales para todo entero $n \geq 3$.

- Caso $n = 4$: Fermat, aproximadamente en 1670.
- Caso $n = 3$: Euler, 1770.
- Podemos suponer que $n \geq 5$.
- Es más, podemos suponer que $n = p$ con $p \geq 5$ primo.

Demostración

Por reducción al absurdo: supongamos que existe (a, b, c) solución entera no trivial. Entonces, existe una curva elíptica dada por

$$E : y^2 = x(x - a^p)(x + b^p).$$

Sea $E[p] \subset E(\overline{\mathbb{Q}})$ el subgrupo de puntos de p -torsión de E . La representación de Galois

$$\bar{\rho}_{E,p}: G_{\mathbb{Q}} \rightarrow \text{Aut}(E[p]) \cong \text{GL}_2(\mathbb{F}_p)$$

es impar. Además, en este caso, es irreducible.

Por la conjetura de modularidad de Serre, $\bar{\rho}_{E,p}$ proviene de una autoforma cuspidal normalizada con coeficientes en $\overline{\mathbb{F}}_p$. Además, $N(\rho) = k(\rho) = 2$ y $\varepsilon(\rho) = \text{id}$. Sin embargo, $\dim(\mathcal{S}_2(2, \text{id})) = 0$. \square

¡Muchas gracias!